

**ANEXOS A LA SOLICITUD DE DEPÓSITO DE LA LÍNEA CELULAR**  
**BST PBiPS5-SV4F-15**  
**EN EL BANCO NACIONAL DE LÍNEAS CELULARES**

## **ANEXOS**

Anexo 1: Fenotipo. Marcadores de pluripotencia

Anexo 2: Diferenciación *in vitro*

Anexo 3: Diferenciación *in vivo*

Anexo 4: Cariotipo

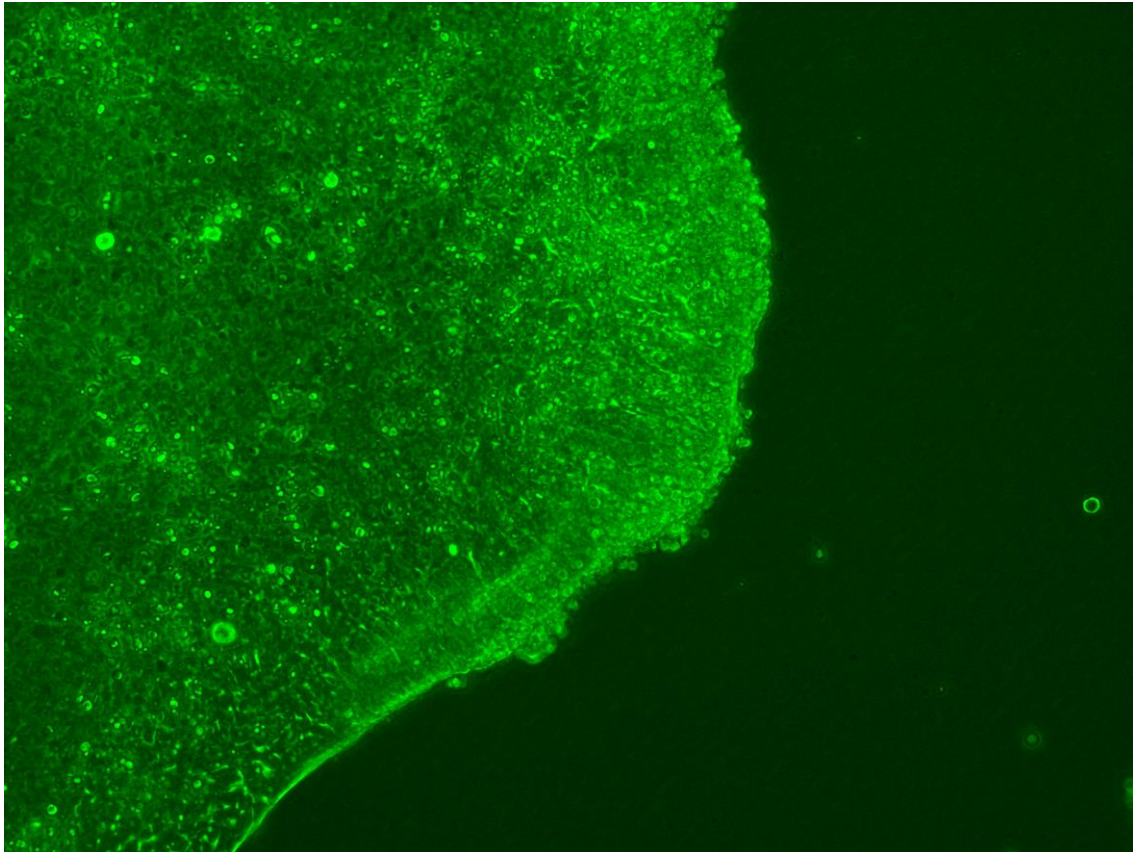
Anexo 5: Resultados de microsatélites

Anexo 6: Ausencia de transgenes de reprogramación

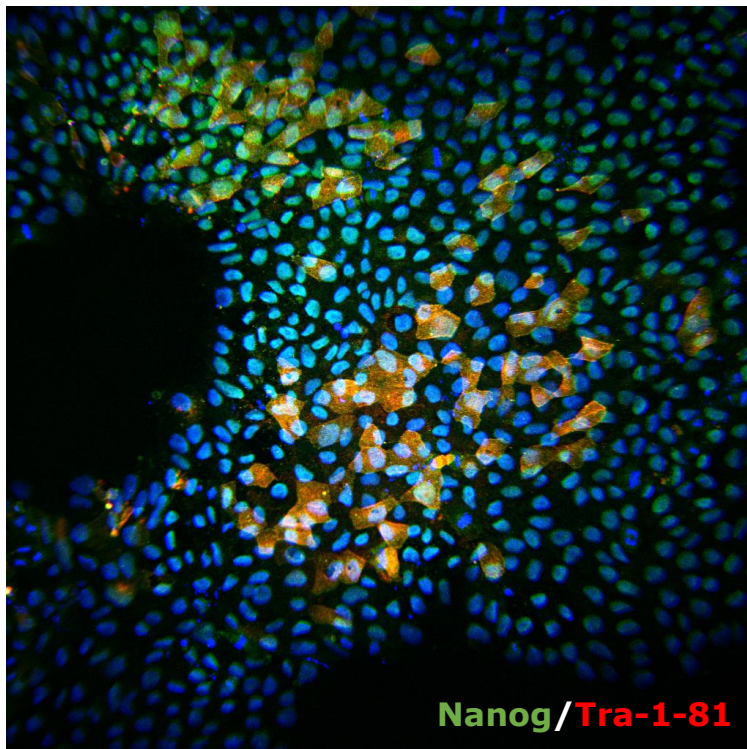
Anexo 7: Confirmación de la presencia de la mutación de la muestra  
origen

Anexo 8: Resultado test de micoplasma

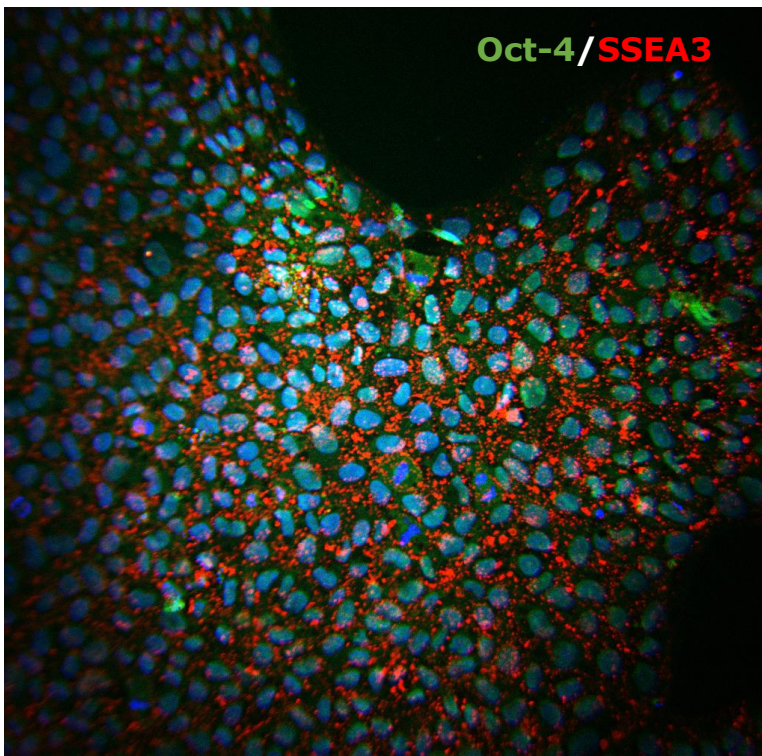
**Anexo 1**  
**Fenotipo. Marcadores de pluripotencia**



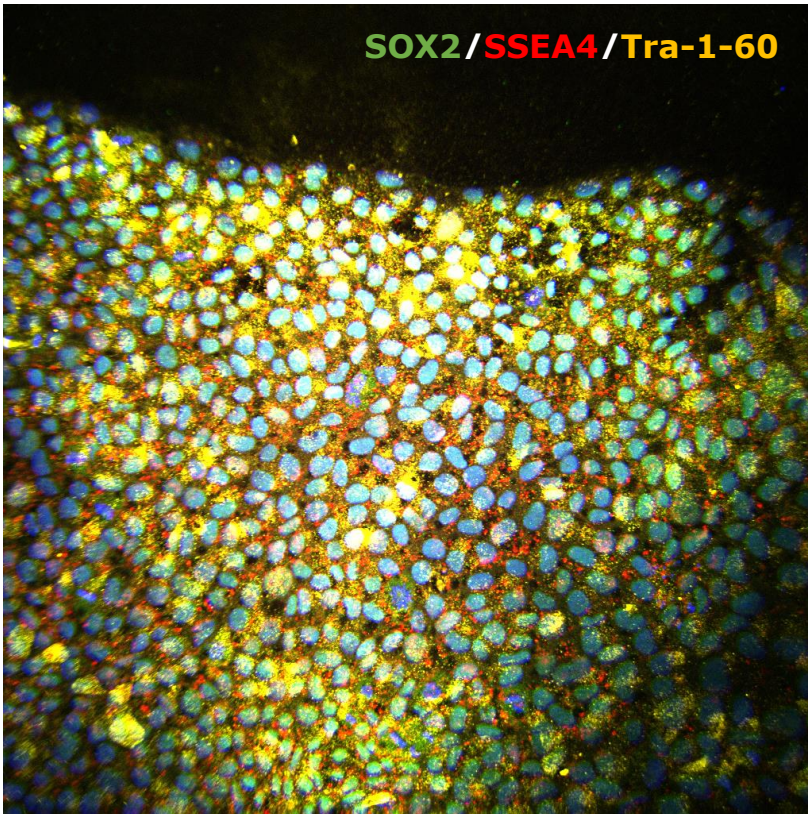
Actividad **fosfatasa alcalina** de la línea de células pluripotentes



Resultado positivo por  
inmunocitoquímica para las  
proteínas de pluripotencia  
**Nanog y Tra-1-81**



Resultado positivo por  
inmunocitoquímica para las  
proteínas de pluripotencia  
**Oct-4 y SSEA3**

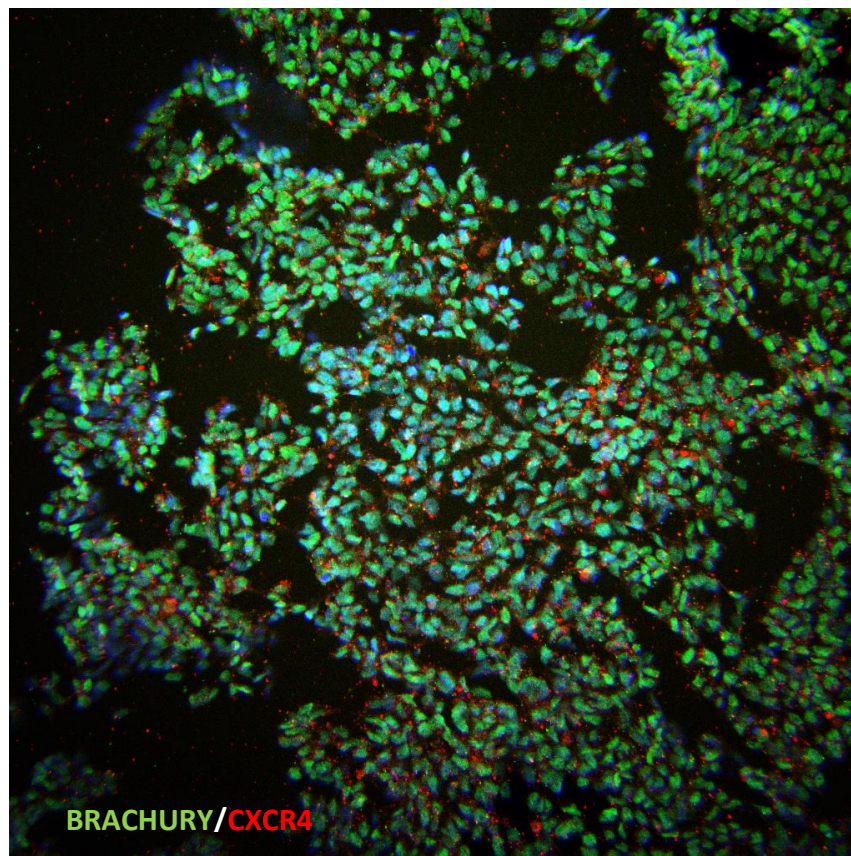


Resultado positivo por  
inmunocitoquímica para las  
proteínas de pluripotencia  
**Sox2, SSEA4 y Tra-1-60**

## **Anexo 2**

### **Diferenciación *in vitro***

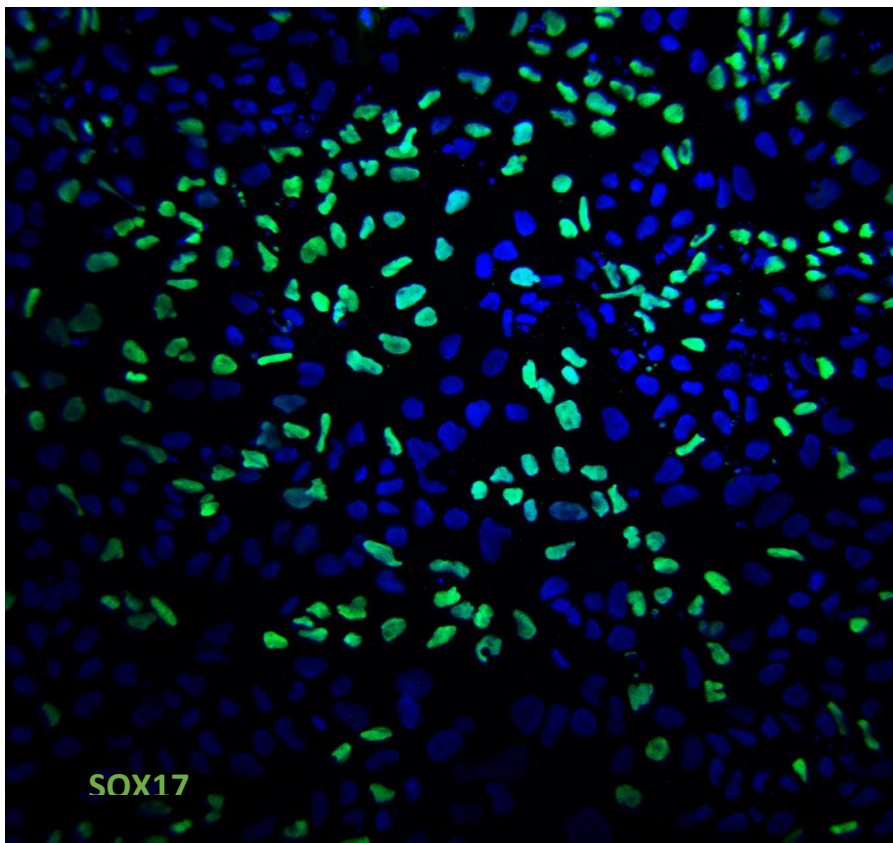
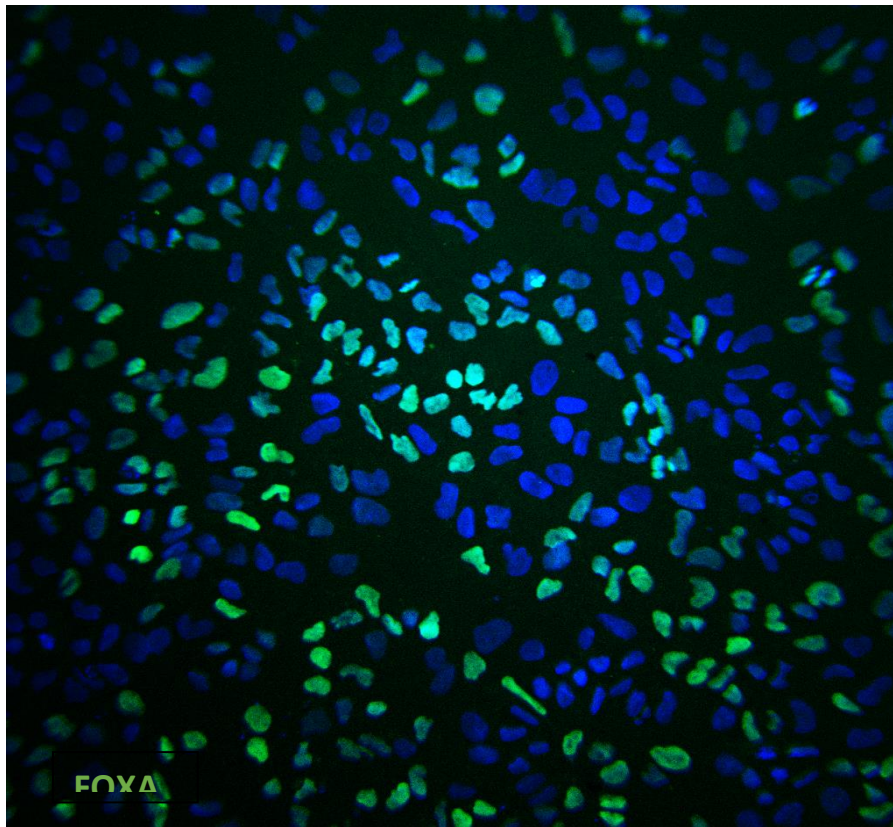
## Diferenciación *in vitro* a **mesodermo**



Células positivas para **Brachury** y **CXCR4**

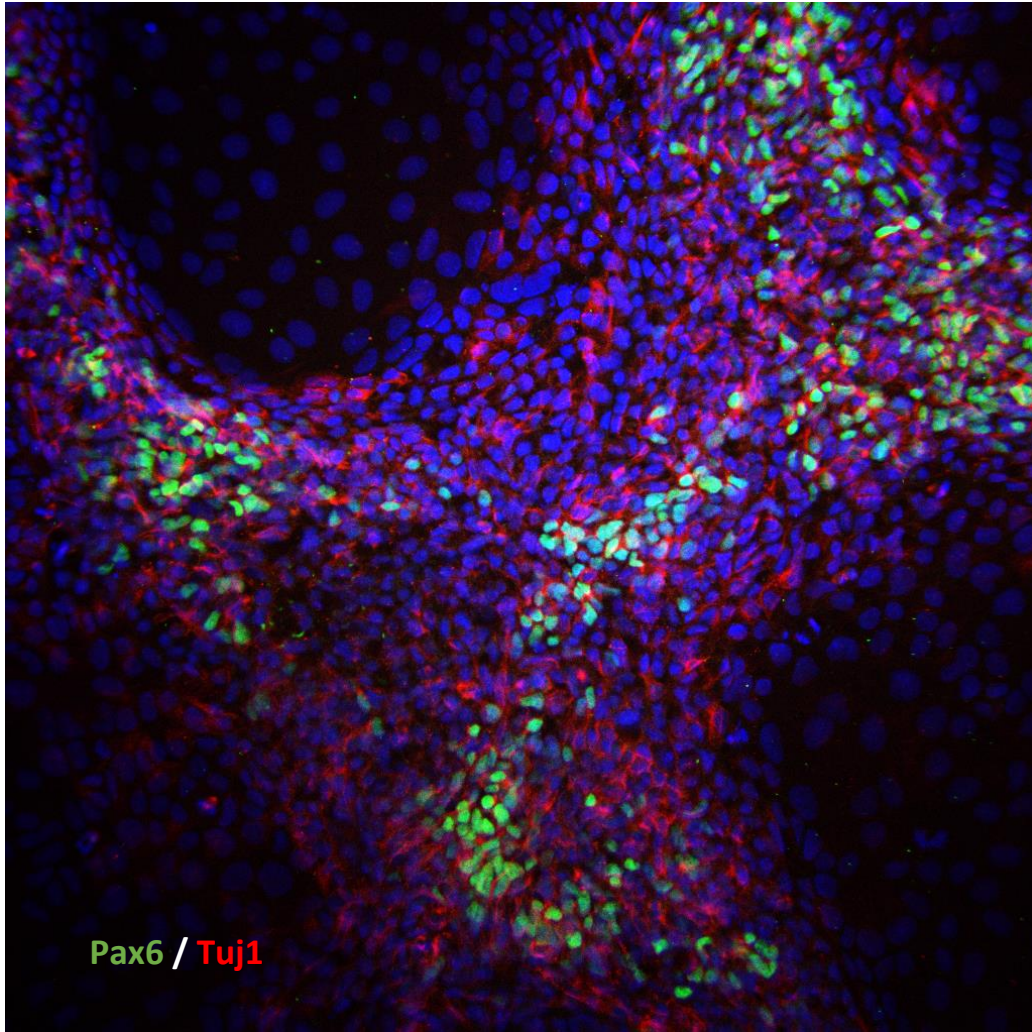


Diferenciación *in vitro* a **endodermo**



Células positivas para **FoxA2** y **SOX17**

Diferenciación *in vitro* a **ectodermo**

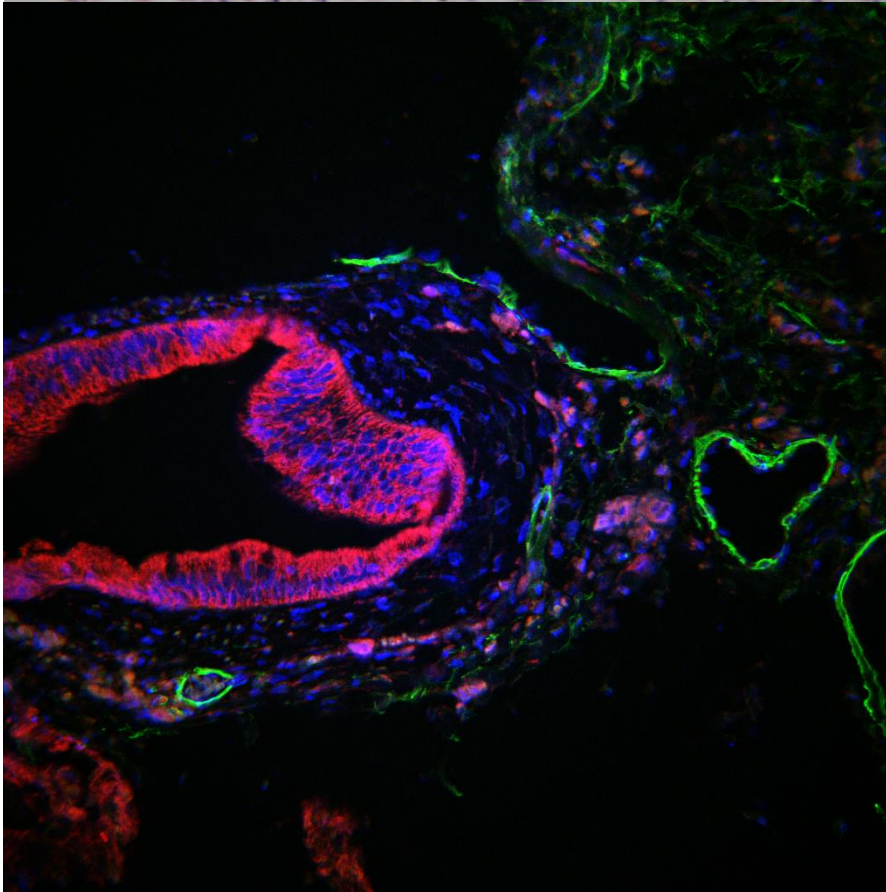
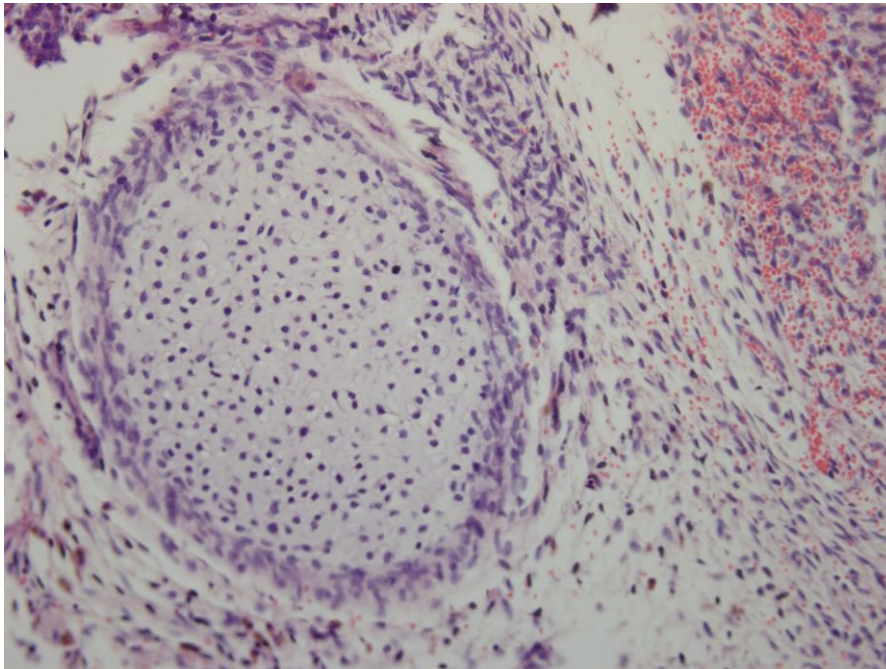


Células positivas para **Pax6** y **Tuj1**

### **Anexo 3**

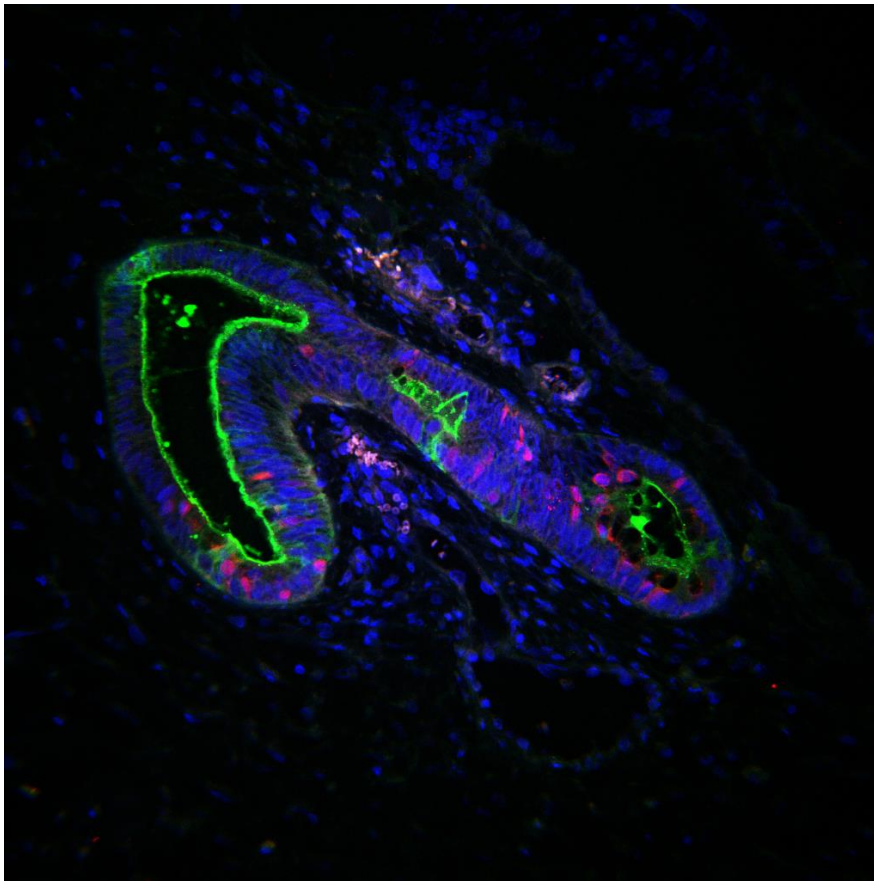
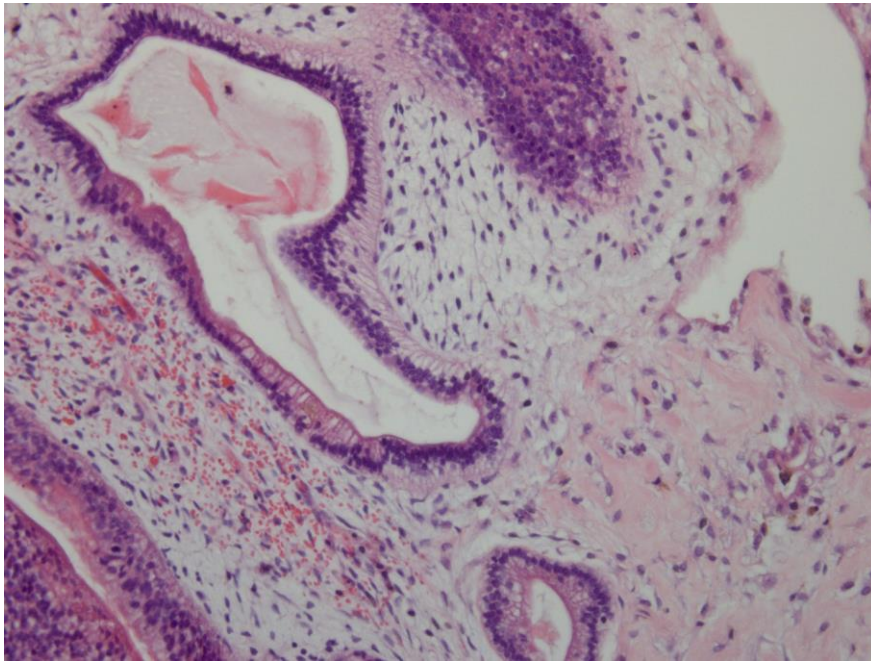
## **Diferenciación *in vivo***

Diferenciación *in vivo* a **mesodermo**



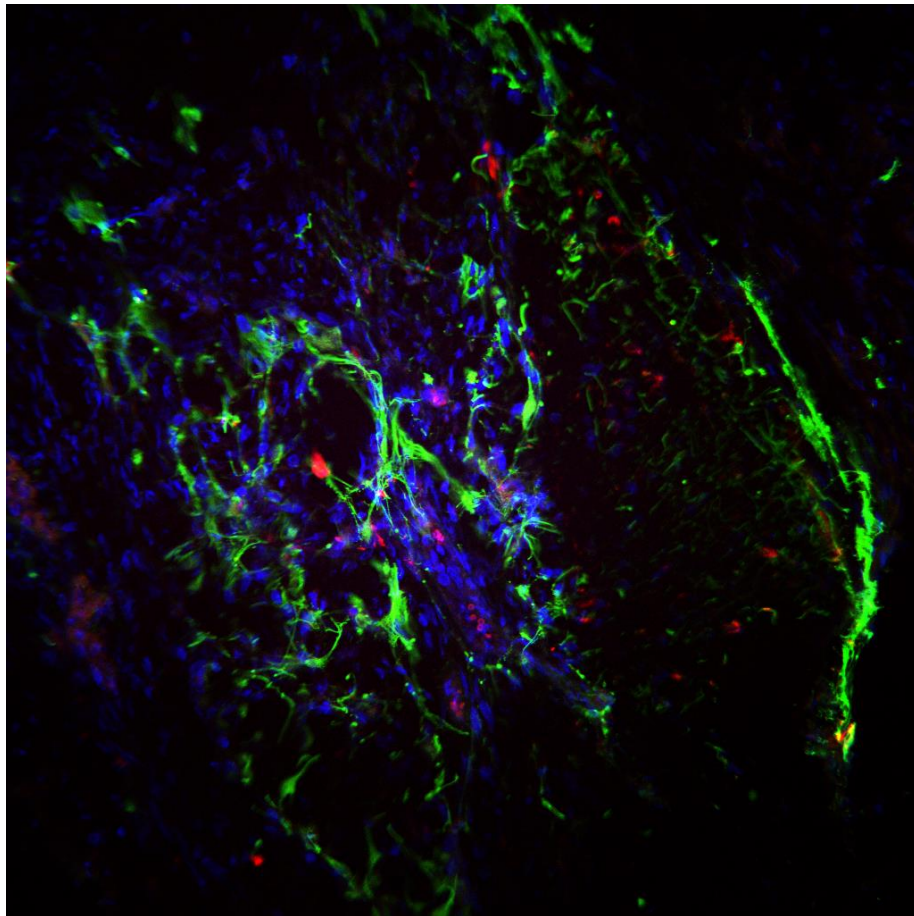
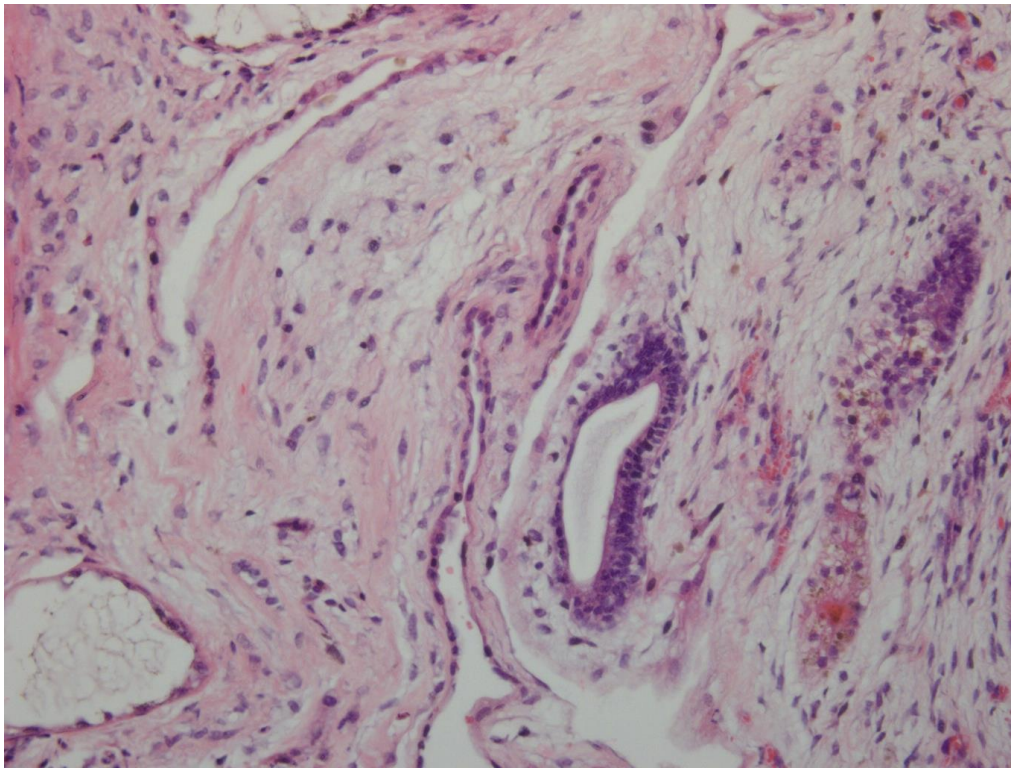
Células positivas para **ASMA** y **ASA**

Diferenciación *in vivo* a **endodermo**



Células positivas para **FoxA2** y **AFP**

Diferenciación *in vivo* a **ectodermo**

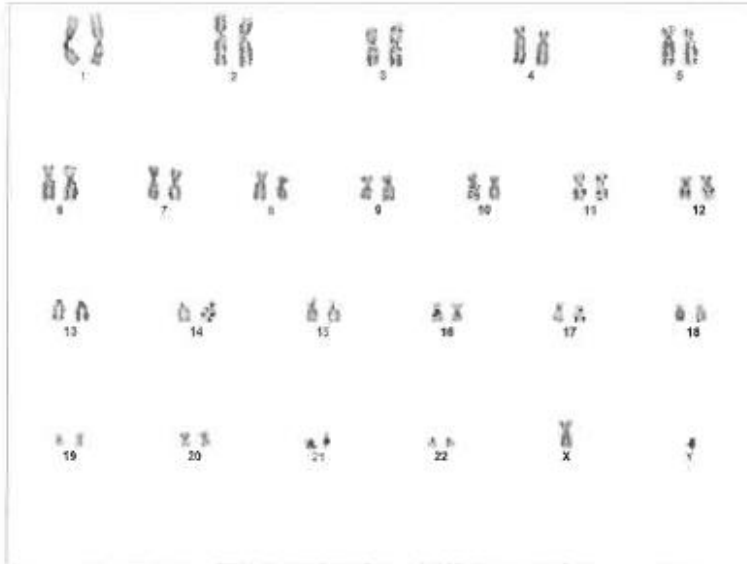


Células positivas para **Neuro200** y **GFAP**

## **Anexo 4 Cariotipo**

Cariotipo analizado en el Laboratorio de Citogenética del Servicio de Patología del Hospital del Mar (Barcelona)

Tipo de Muestra: Material fixat en Carnoy



Case: M2208-18 Slide: 1\_2 Cell: W22/0\_cell 1863

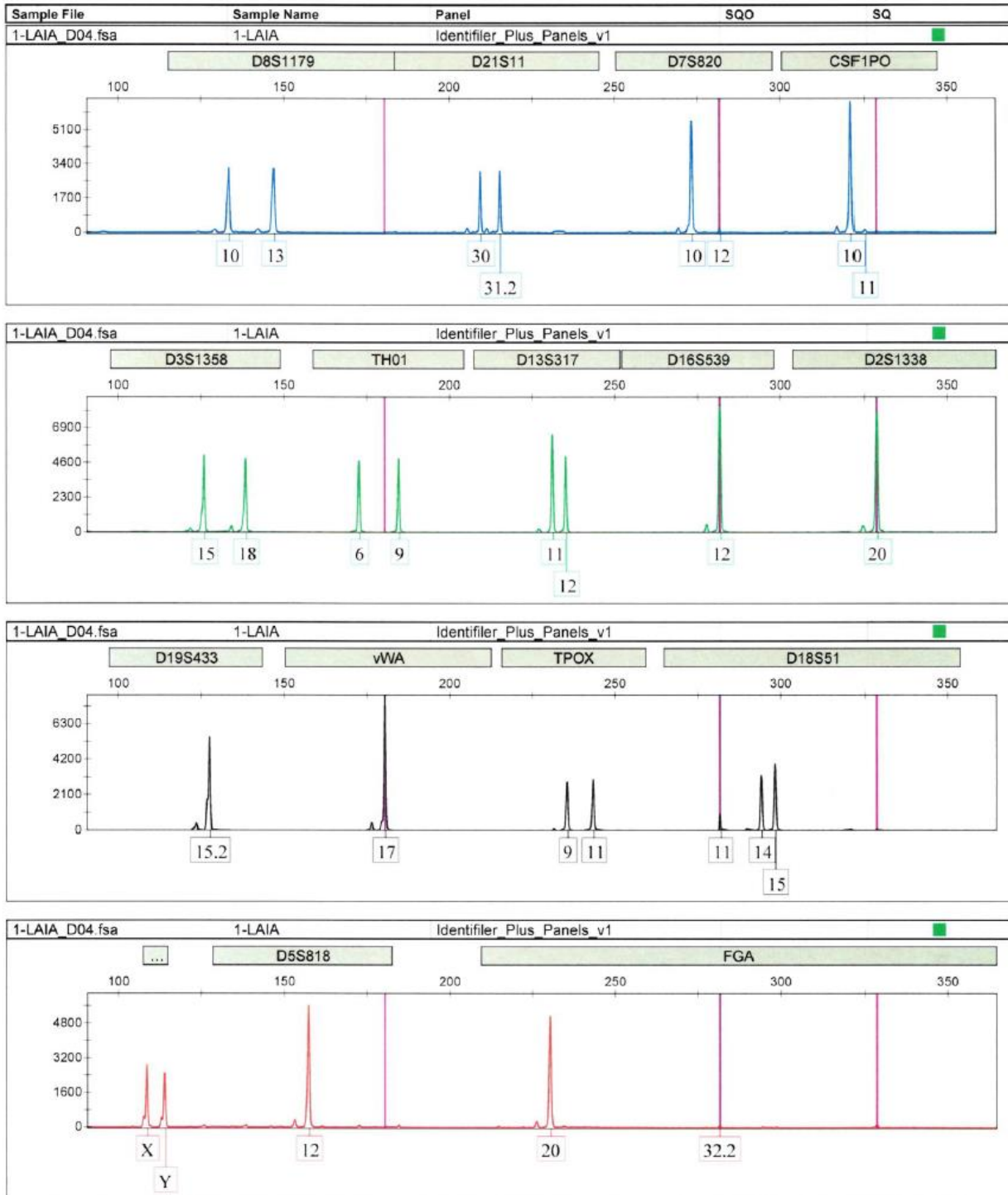
Resultado: 46,XY[20]



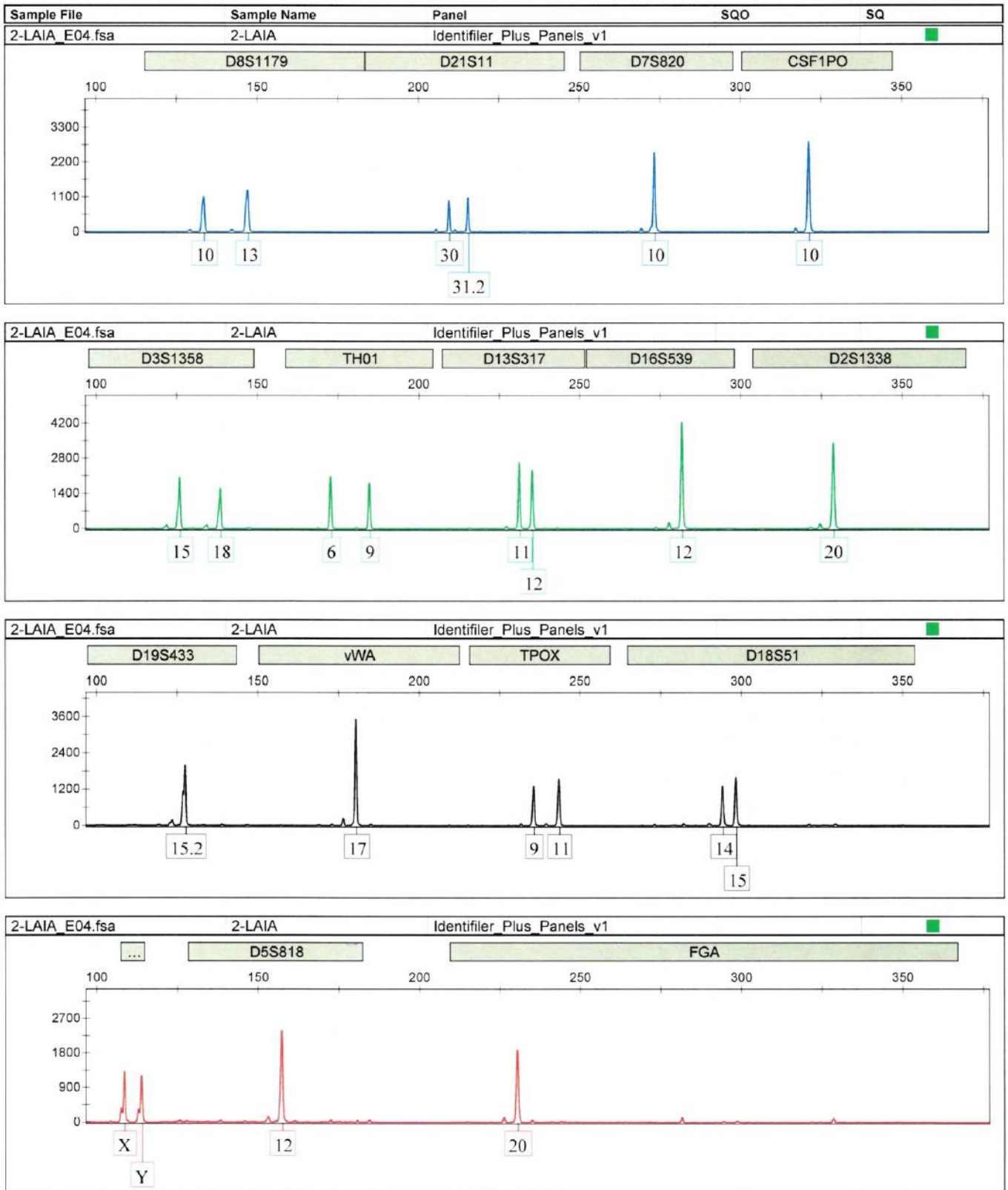
## **Anexo 5**

### **Resultado de microsatélites**

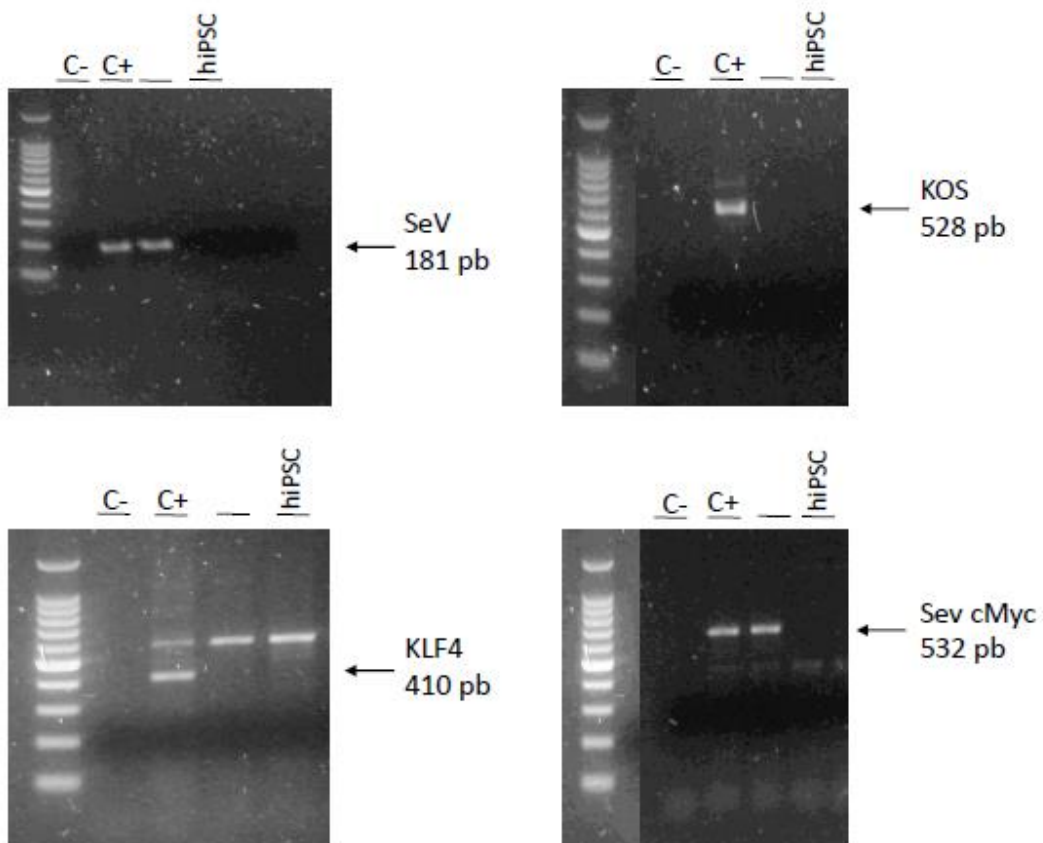
Perfil de microsatélites de la **muestra original**



Perfil de los microsatélitos de la **línea hiPSC**

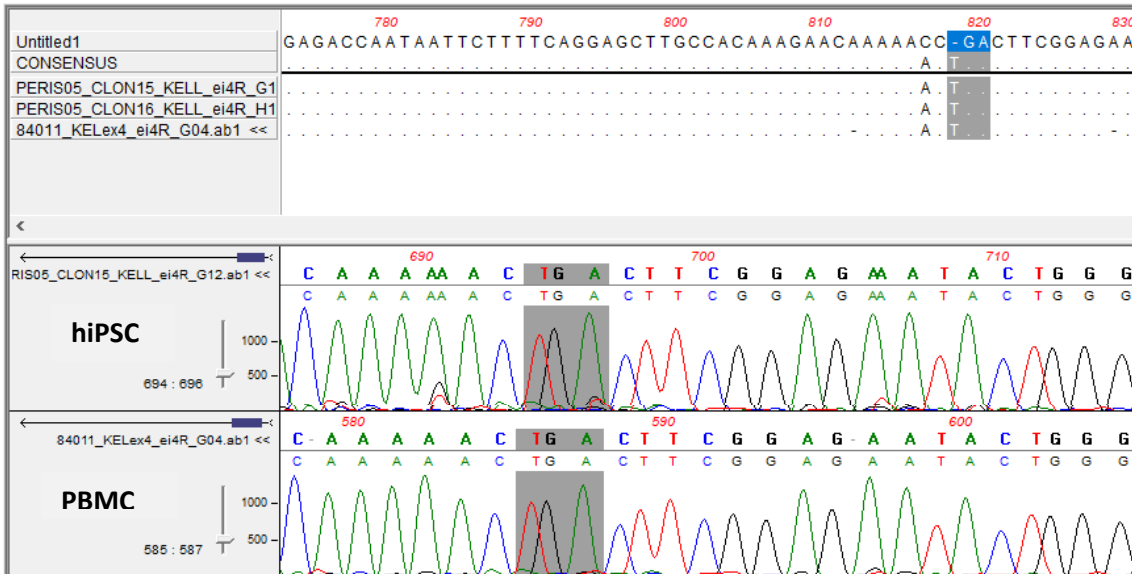


**Anexo 6**  
**Ausencia de transgenes de reprogramación**



Ausencia de los transgenes de reprogramación. Análisis por RT-PCR de la expresión de RNA de los transgenes en la línea hiPSC generada y en las células control (células de día 3 post-transducción).

**Anexo 7**  
**Confirmación de la presencia de la mutación de la muestra**  
**origen**



Presencia de la mutación KEL\*02N.02 tanto en el DNA de la muestra original como en el de la línea hiPSC. Confirmación por secuenciación con ABI Prism 3130xl Genetic Analyzer.

**Anexo 8**  
**Resultado test de micoplasma**



## Informe

**05\_15P51 - , -****201907221389189**

Data	: 22/07/2019	
Num. Història	: 05_15p51	IMMUNOHEMATOLOGIA
Num. Episodi	: 98E376935	
Data Naixement	: No Consta	RECERCA
Ref. Externa	: 05_15p51	
Data Extraccio	: 22/07/2019	() BARCELONA
Origen	: 678	
Diagnòstic	:	
Observacions	:	

### Laboratori Cel.lular

Responsables: MARGARITA CODINACH CREUS; SILVIA TORRENTS ZAPATA

Validació: MIREIA LLORET

Paràmetre	Resultat	Unitats	Interval de Referència
DETECCIO DE MYCOPLASMA (ATP-LUMINISCENCIA)			
Control negatiu	Negatiu		
Control positiu	Positiu		
Tipus de mostra			
Rati mostra	0.5		
Interpretació mostra	Negatiu		

Criteris interpretatius:

Rati &lt;1.0 Negatiu per Mycoplasma

Rati 1.0 -1.2 Zona grisa. Dubtós.

Rati &gt;1.2 Positiu per Mycoplasma

Test de micoplasma por ATP-Luminiscencia. Resultado **NEGATIVO** para Mycoplasma.

